

Fig. 1 PRIOR ART

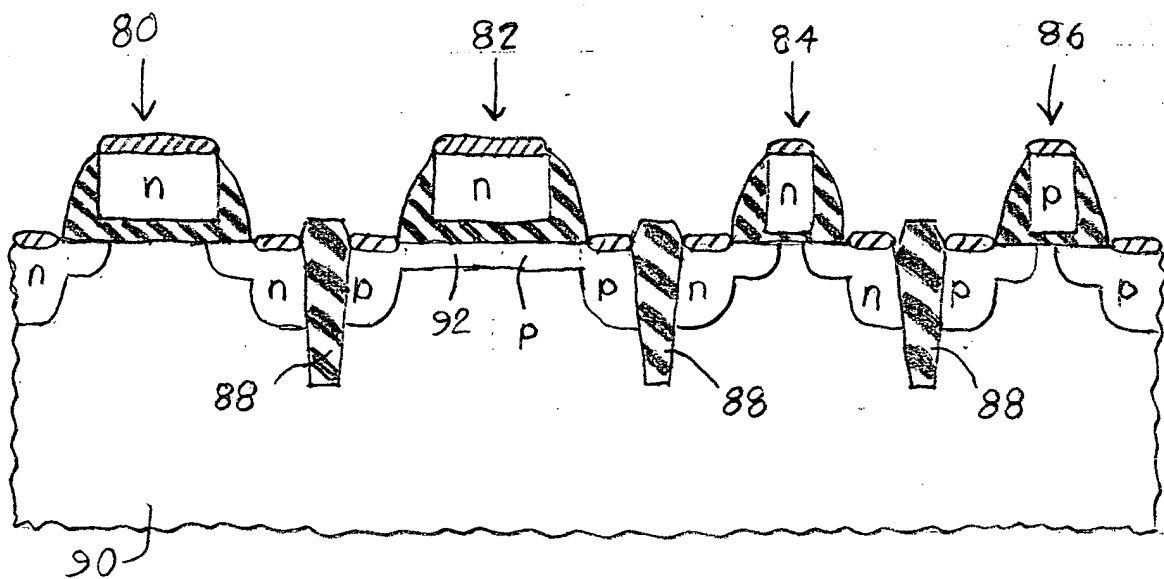


Fig. 2 PRIOR ART

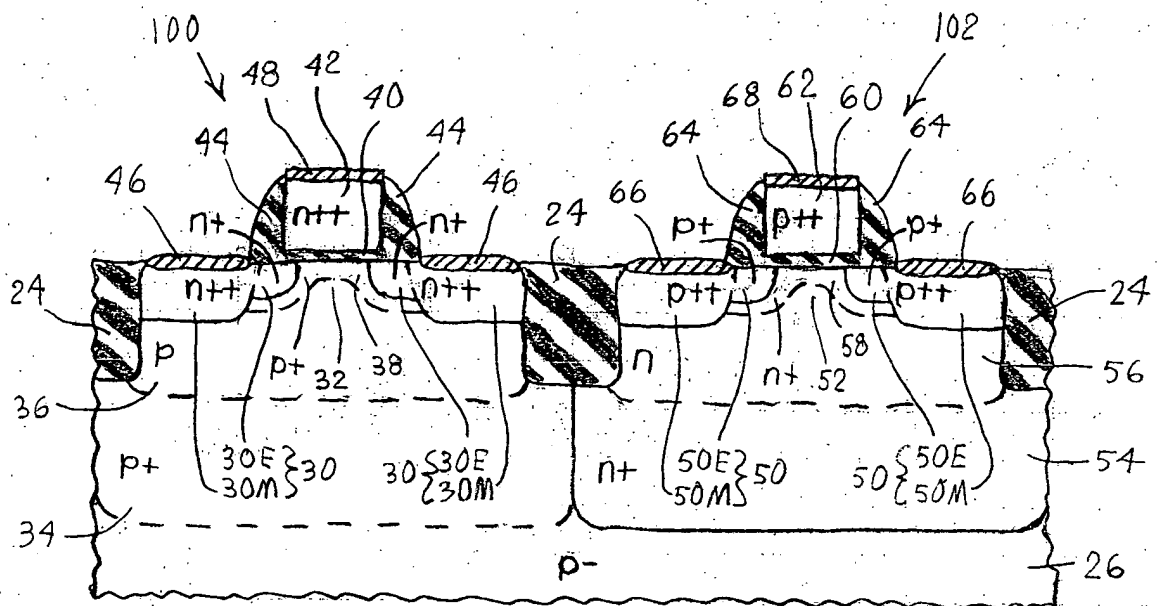


Fig. 3.1

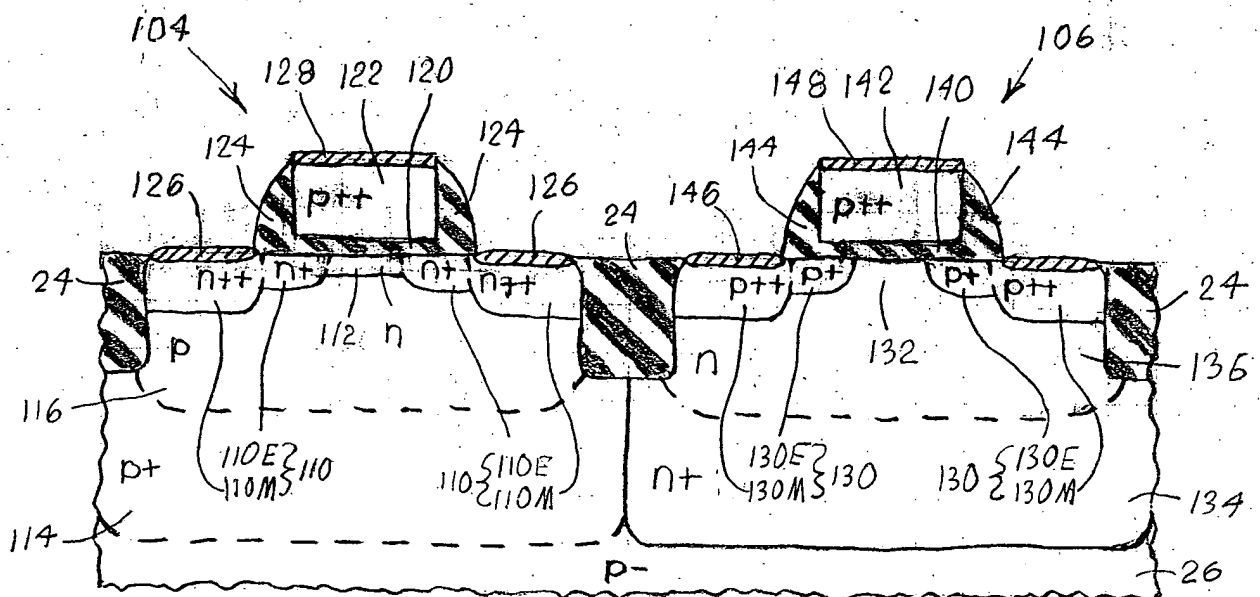


Fig. 3.2

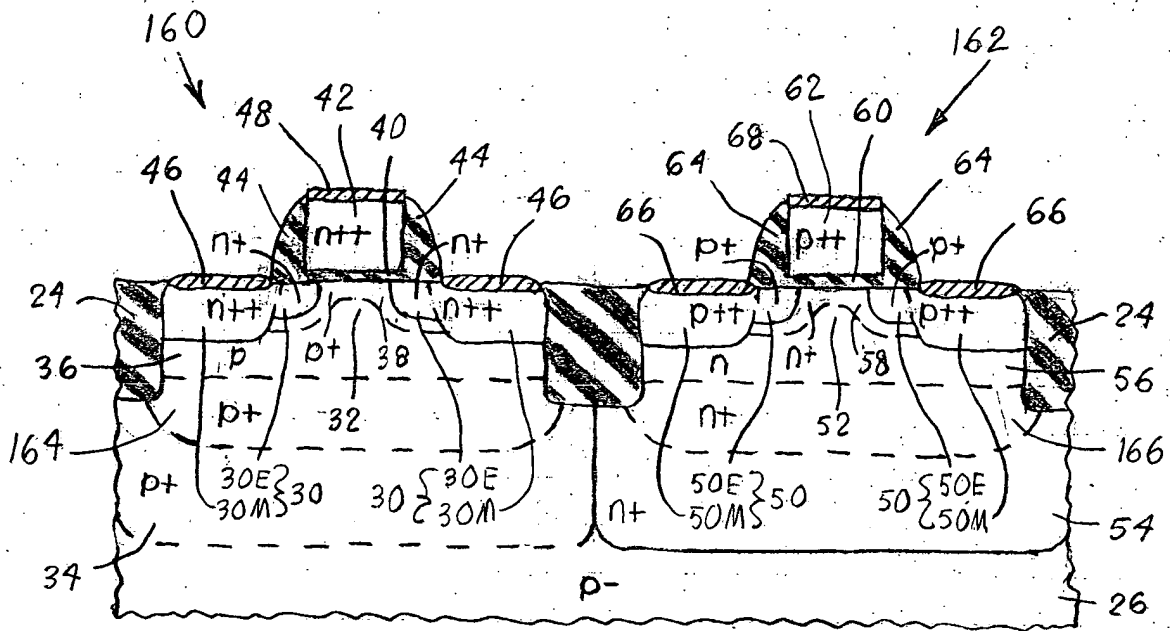


Fig. 4

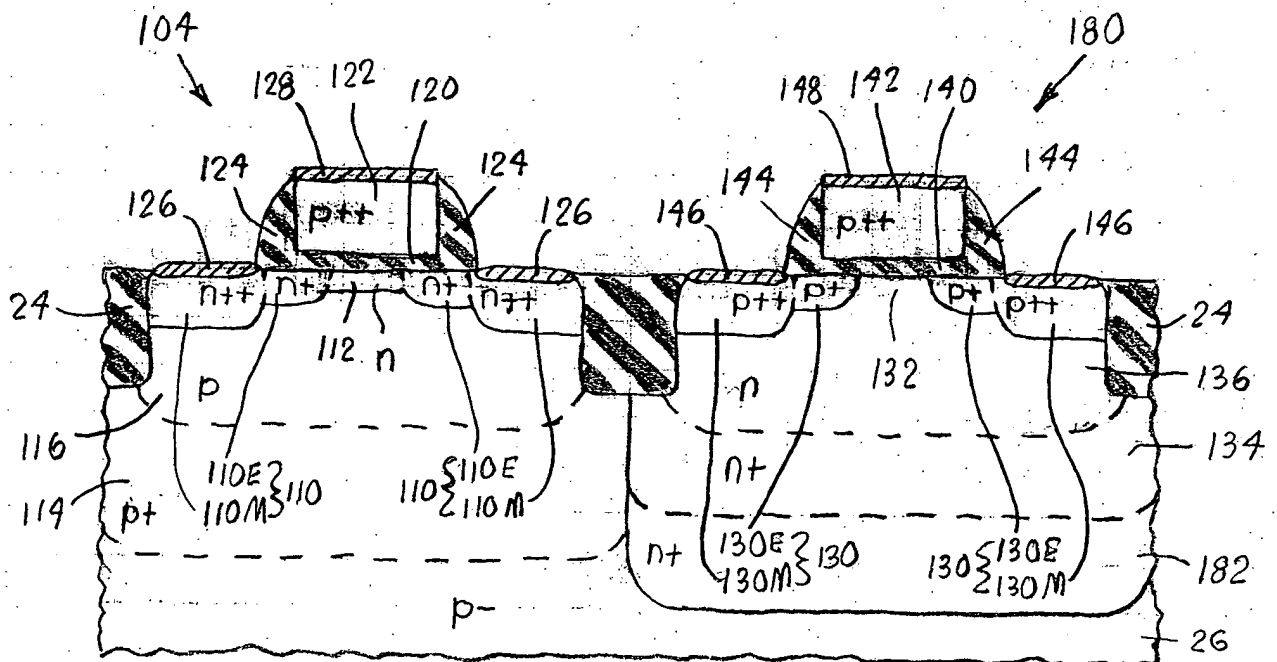


Fig. 5

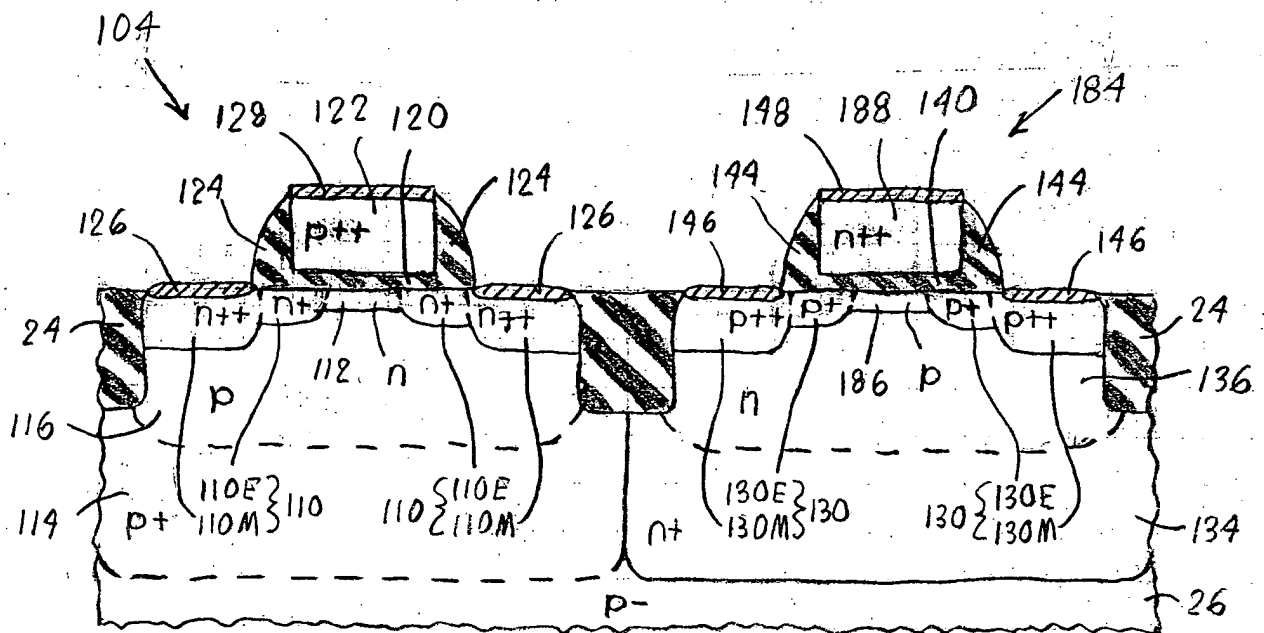


Fig. 6

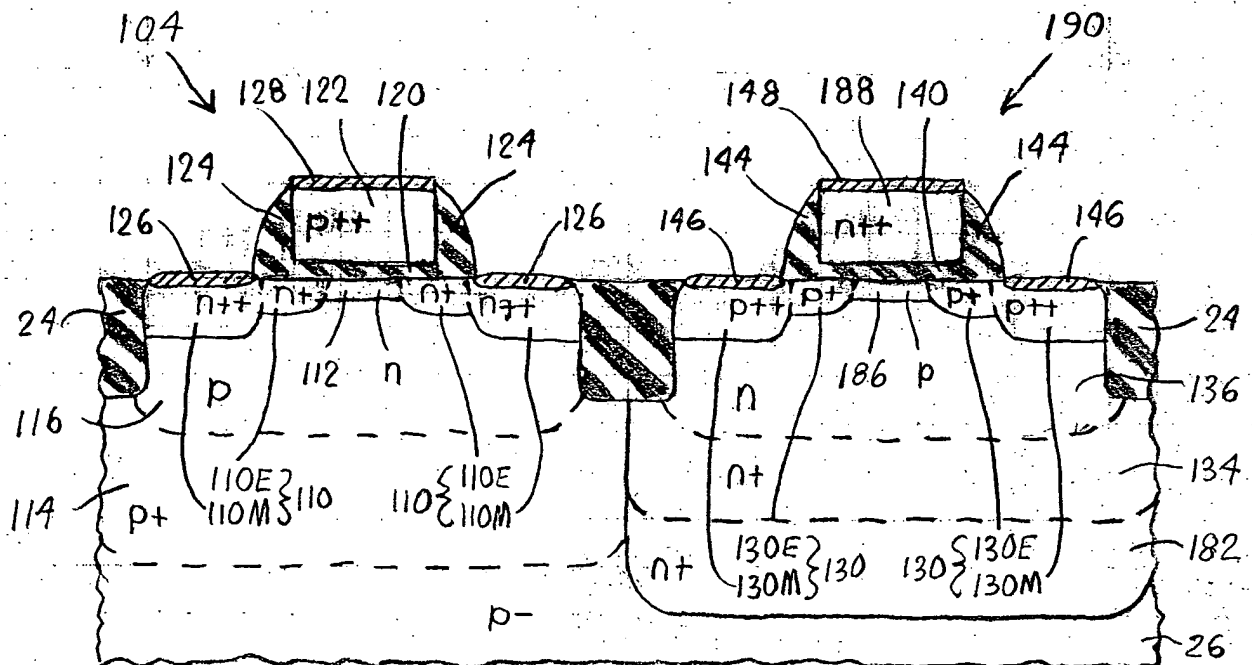


Fig. 7

N-channel CJIGFET, $N_B = 3 \times 10^{16} \text{ cm}^{-3}$, $N_{POLY} = 10^{20} \text{ cm}^{-3}$, $t_{GD} = 10 \text{ nm}$

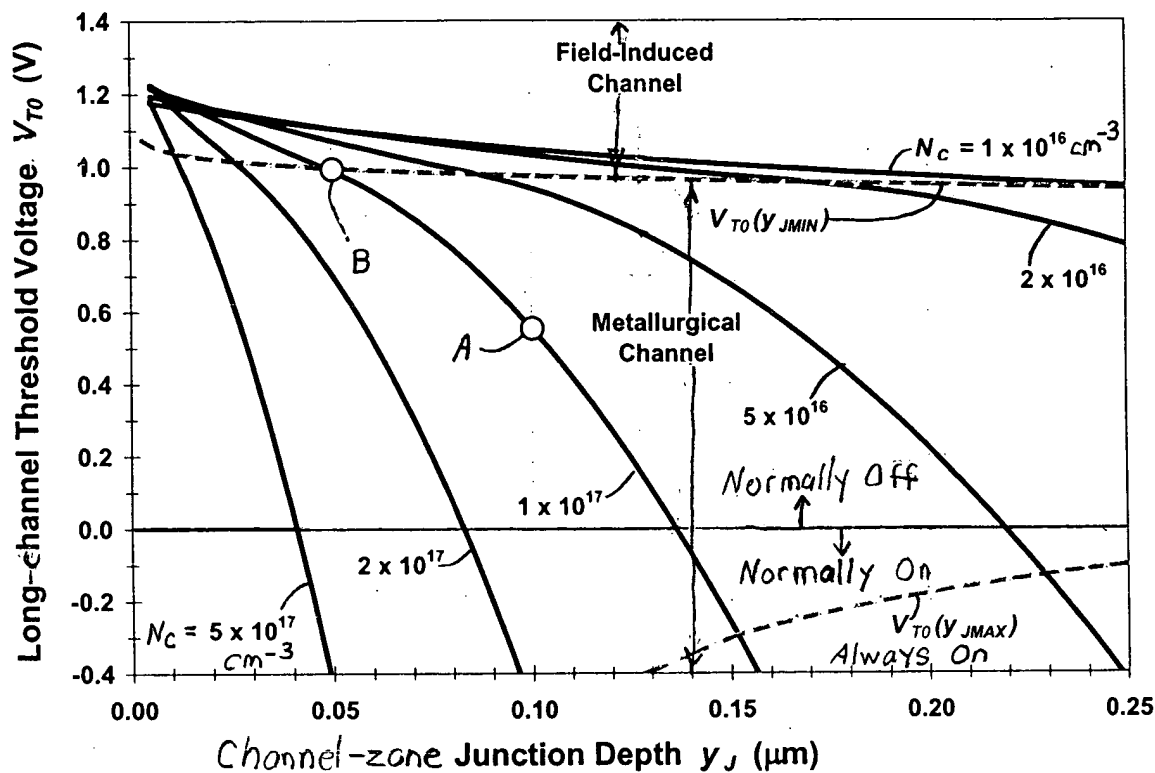


Fig. 8

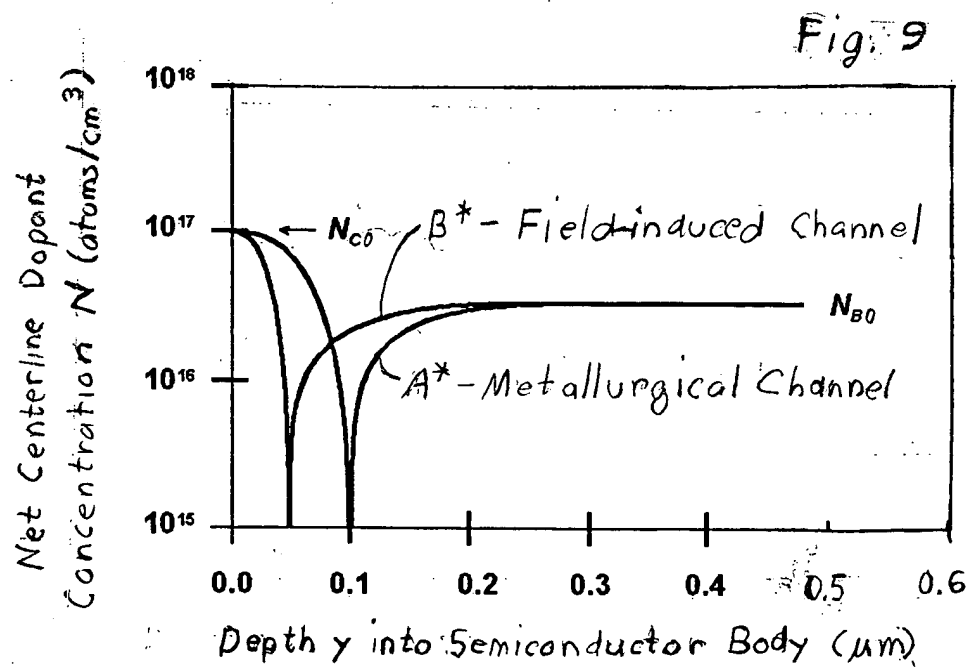


Fig. 9

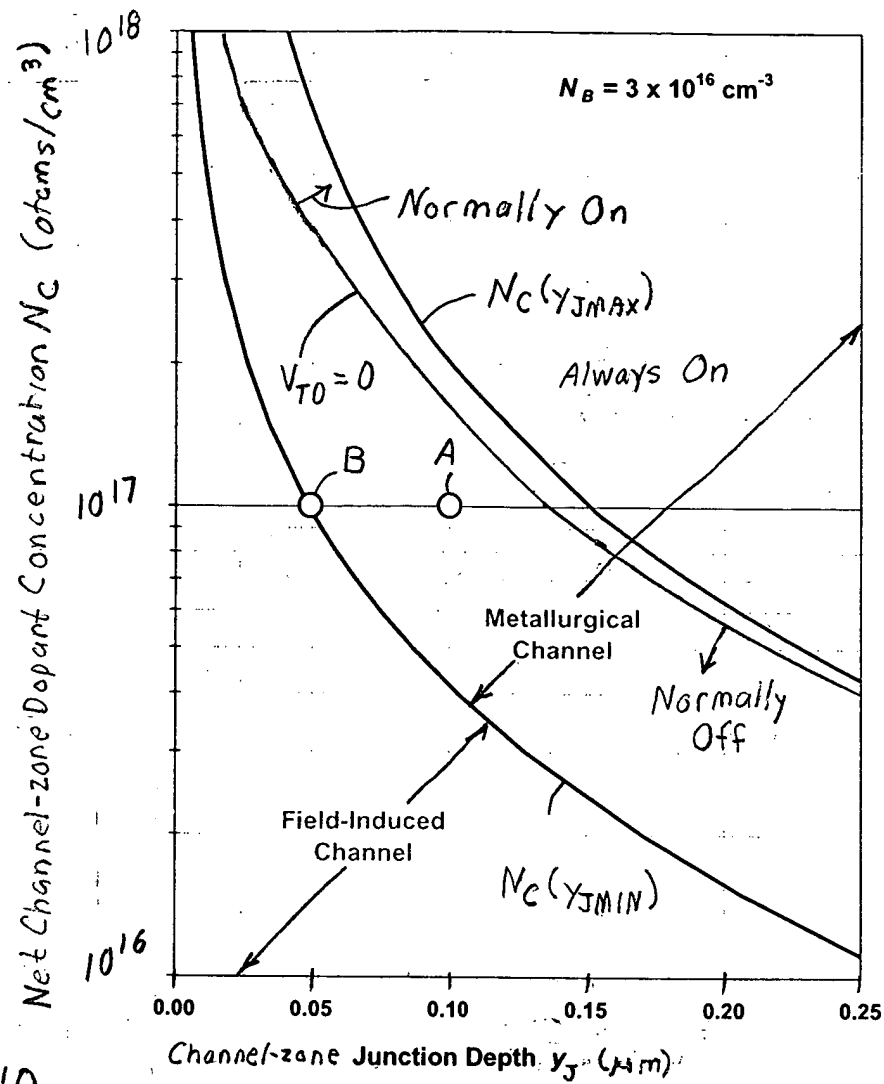


Fig. 10

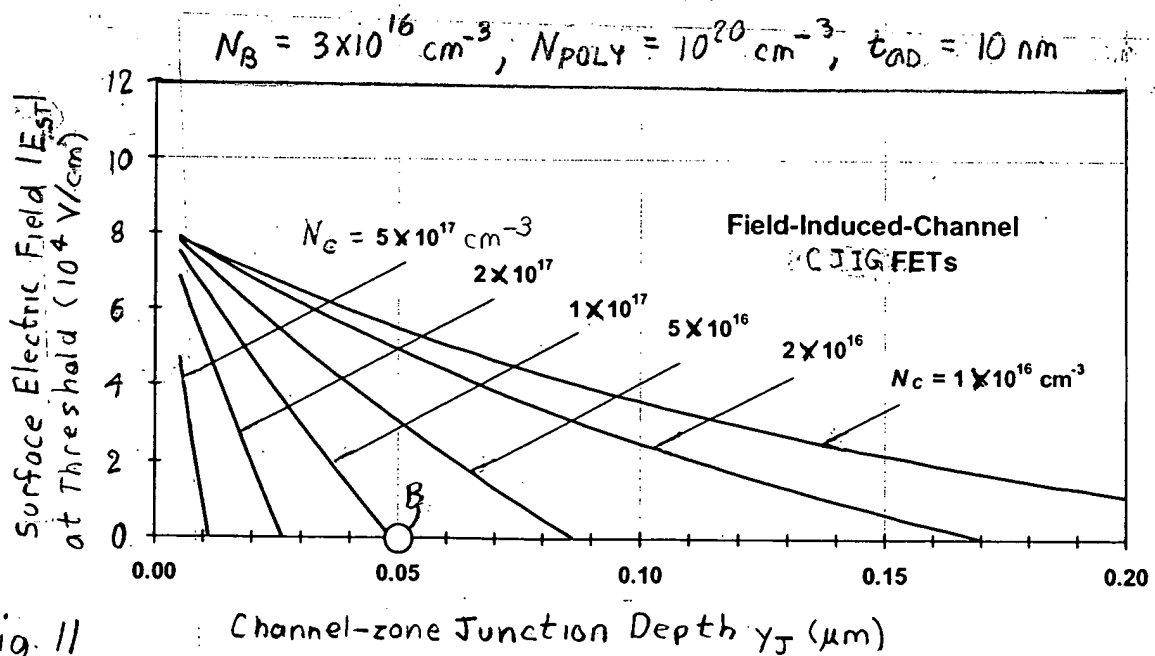


Fig. 11

Fig
12a

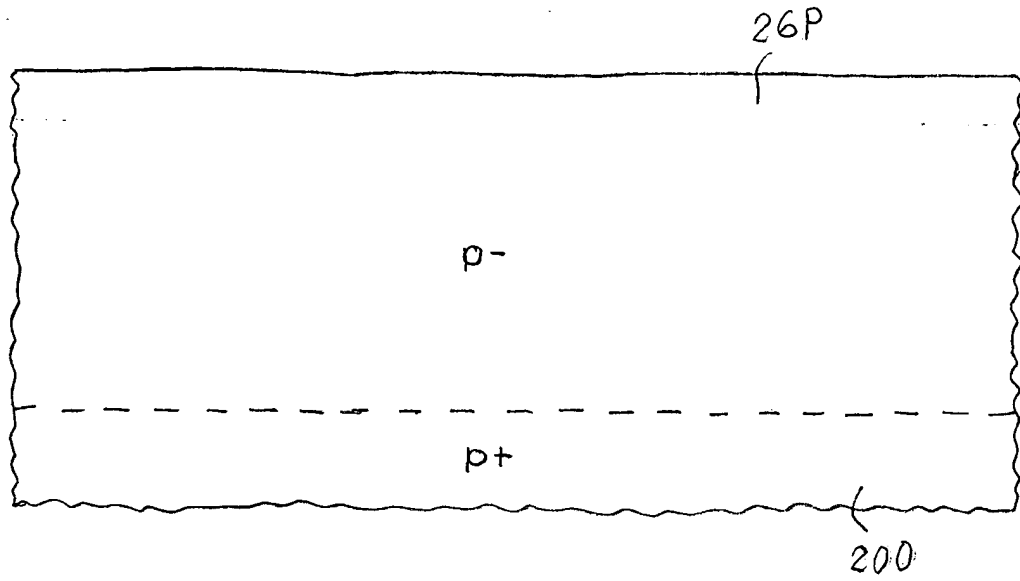


Fig.
12b

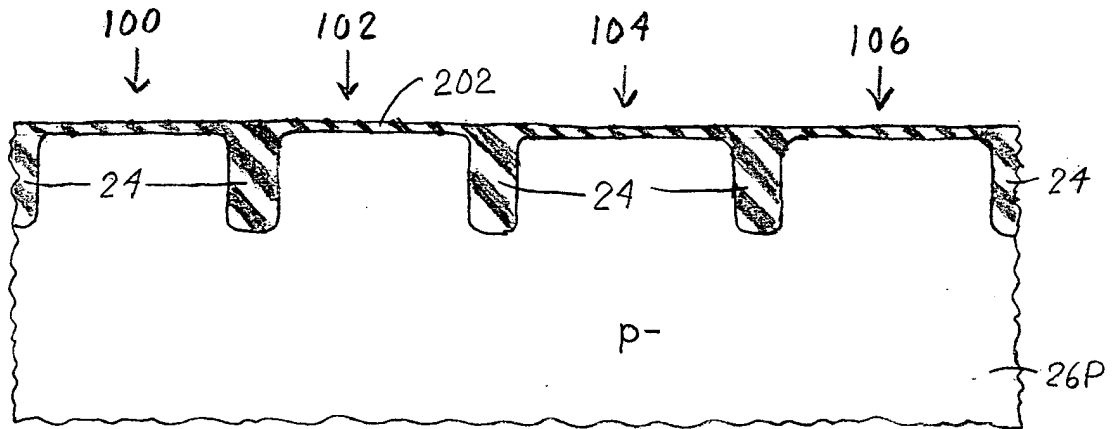
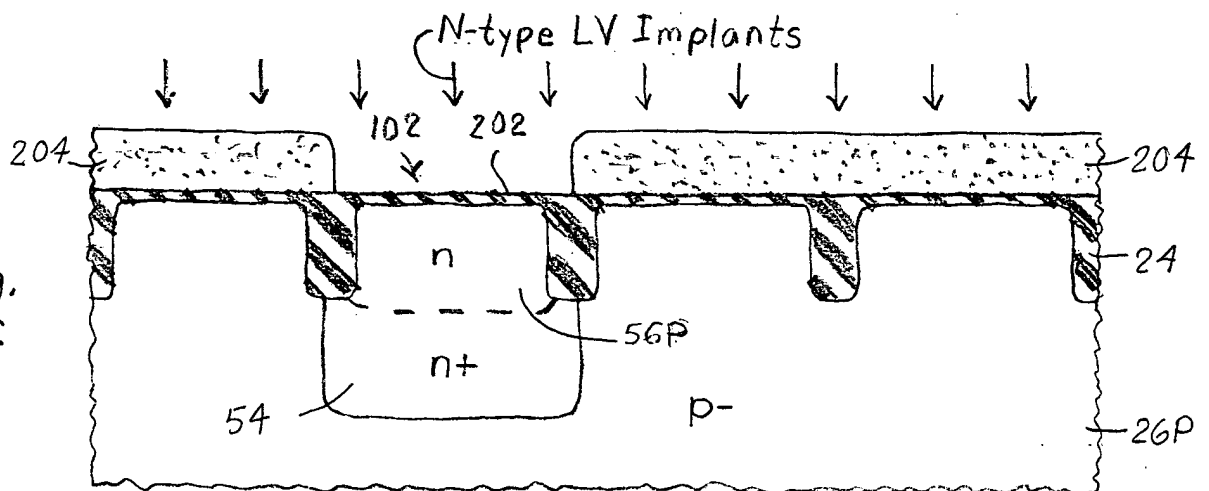
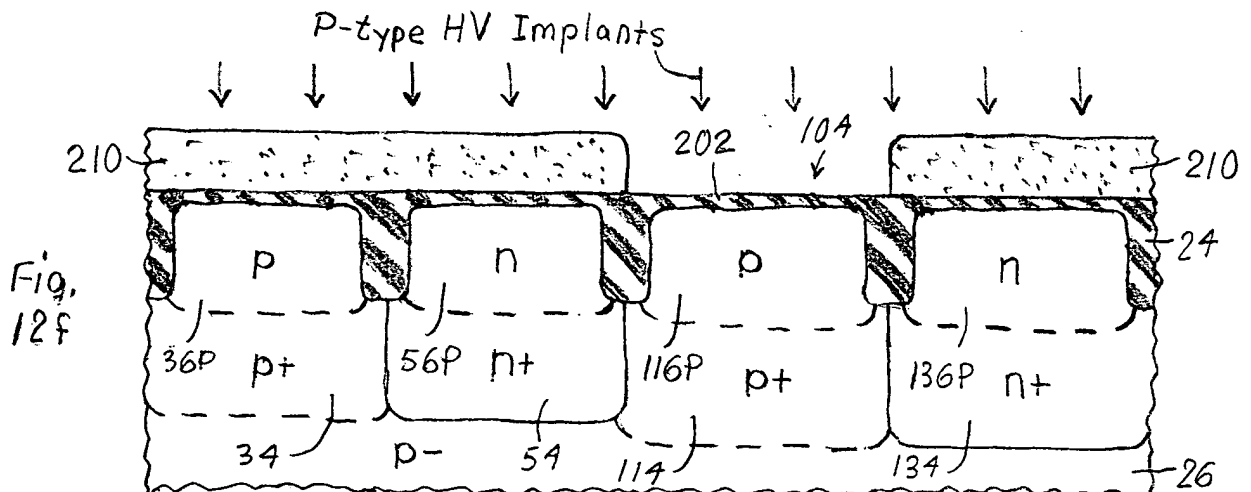
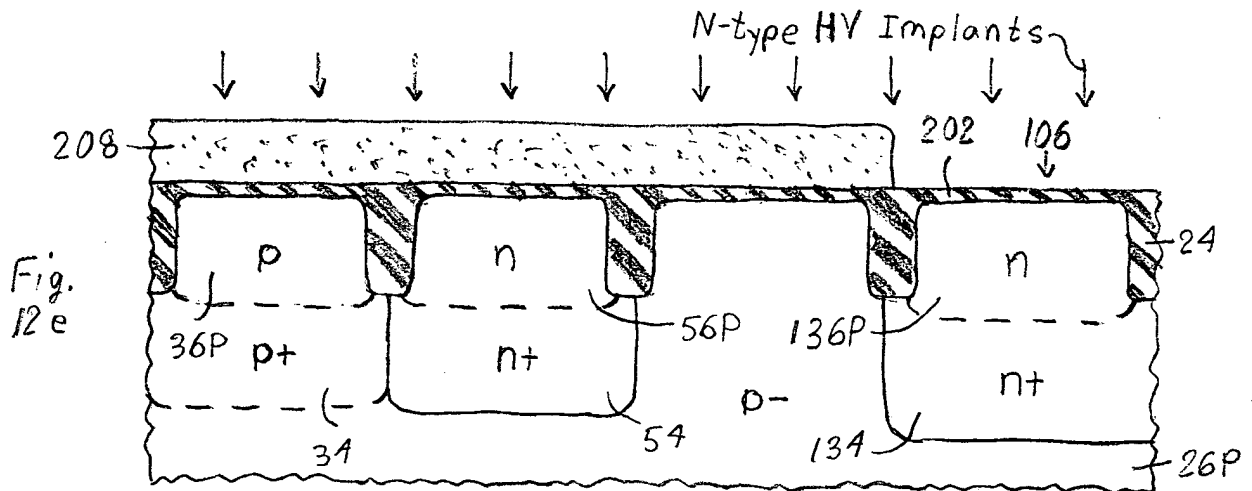
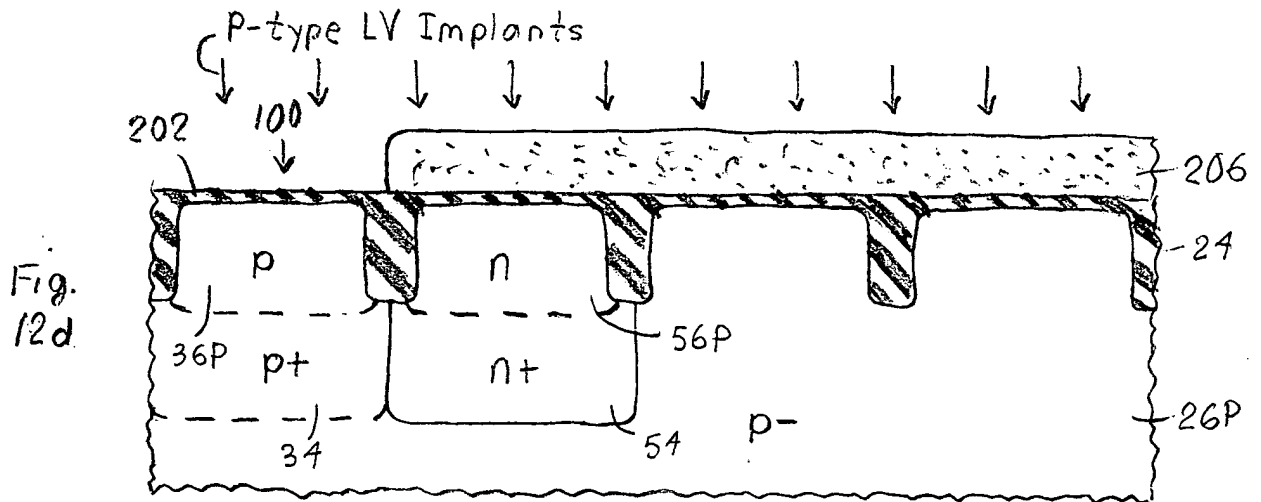


Fig.
12c





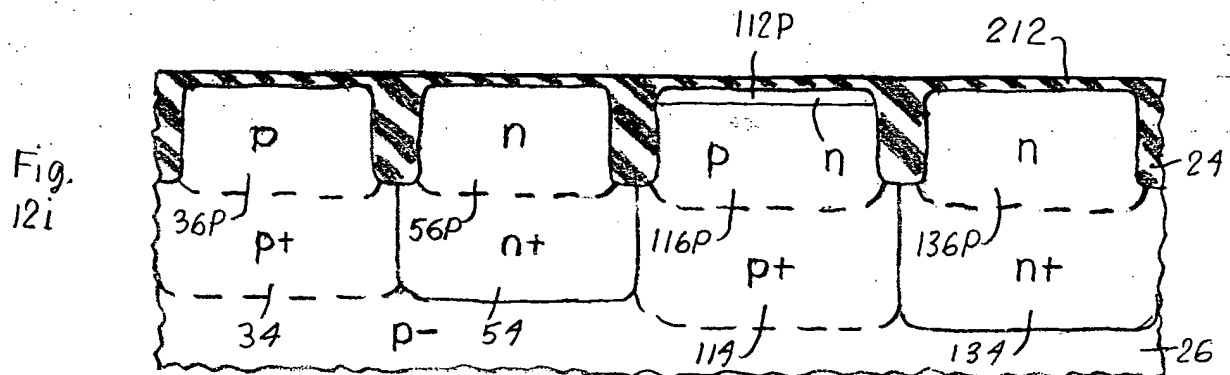
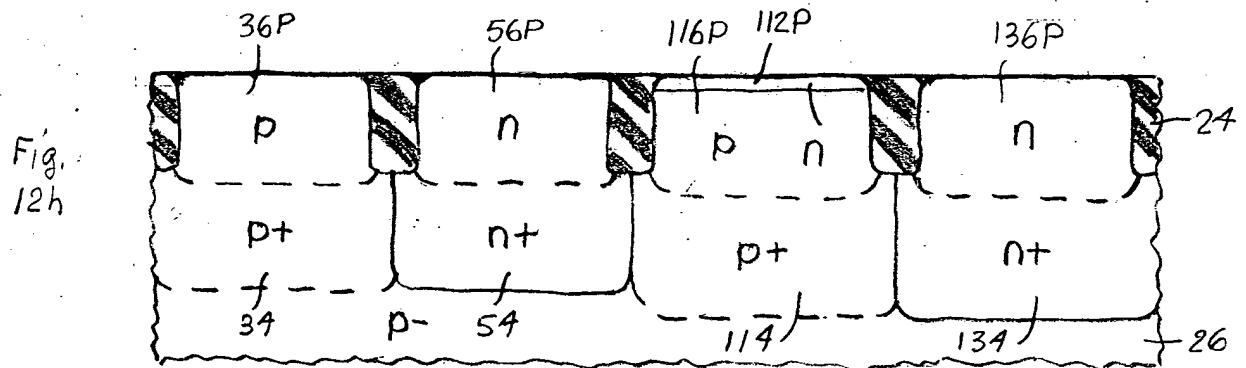
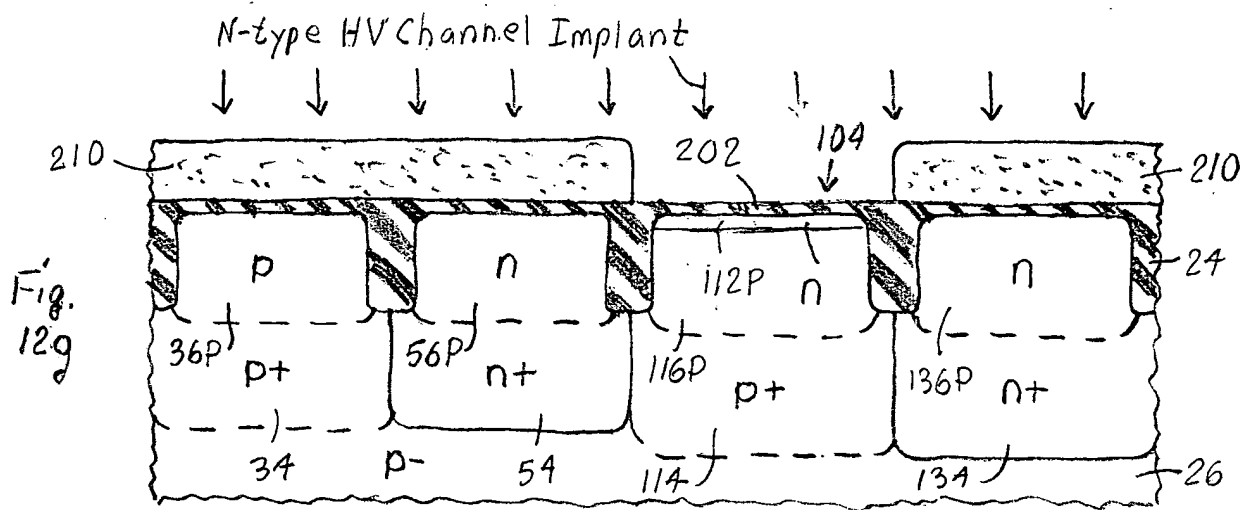


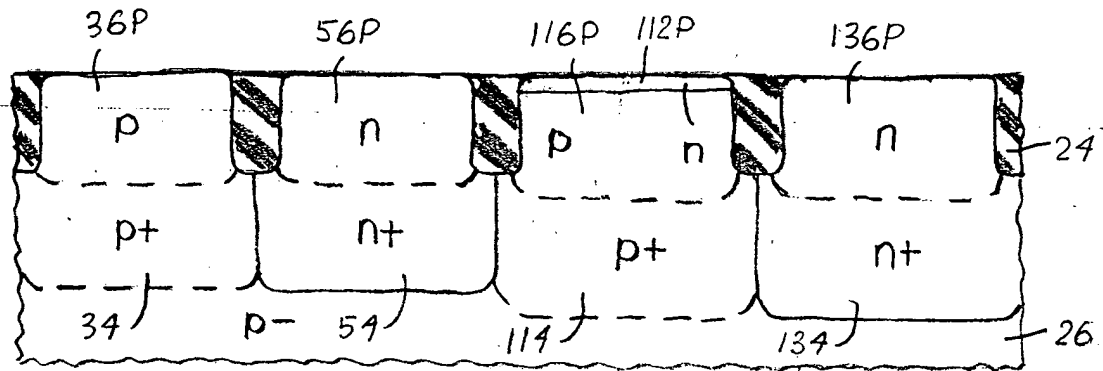
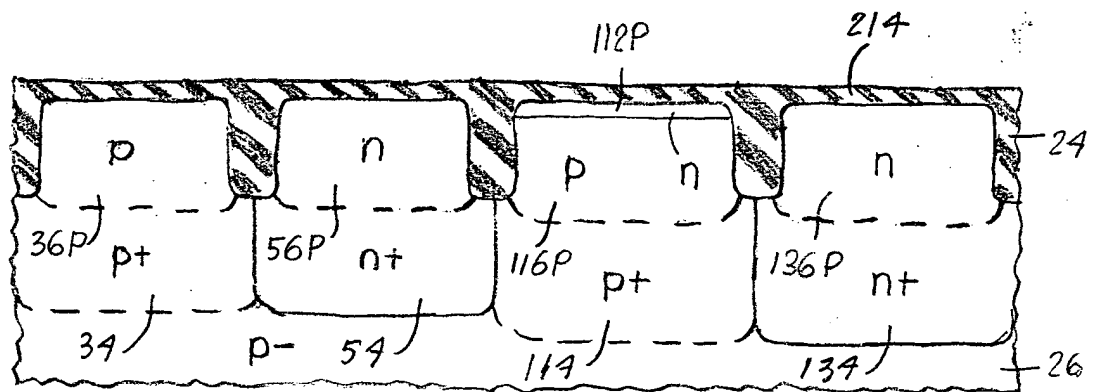
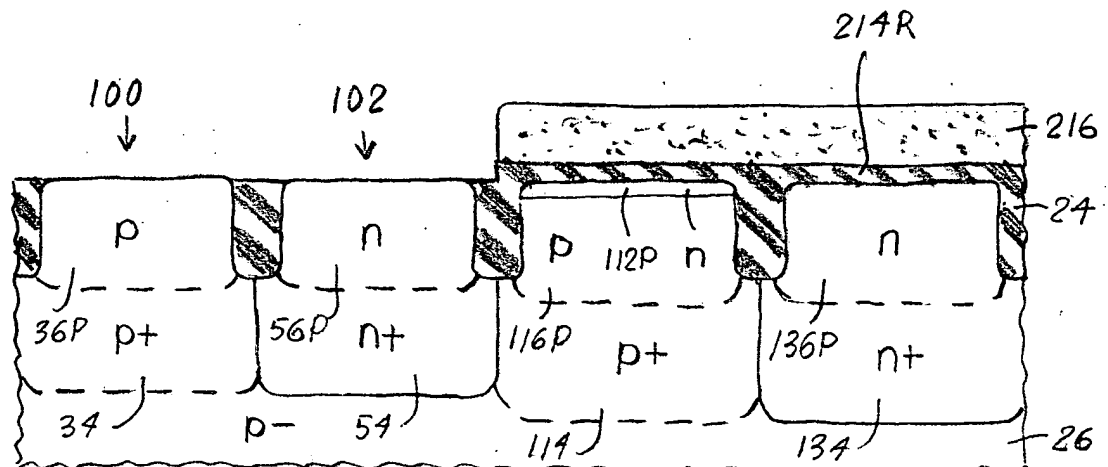
Fig.
12jFig.
12kFig.
12l

Fig. 12m

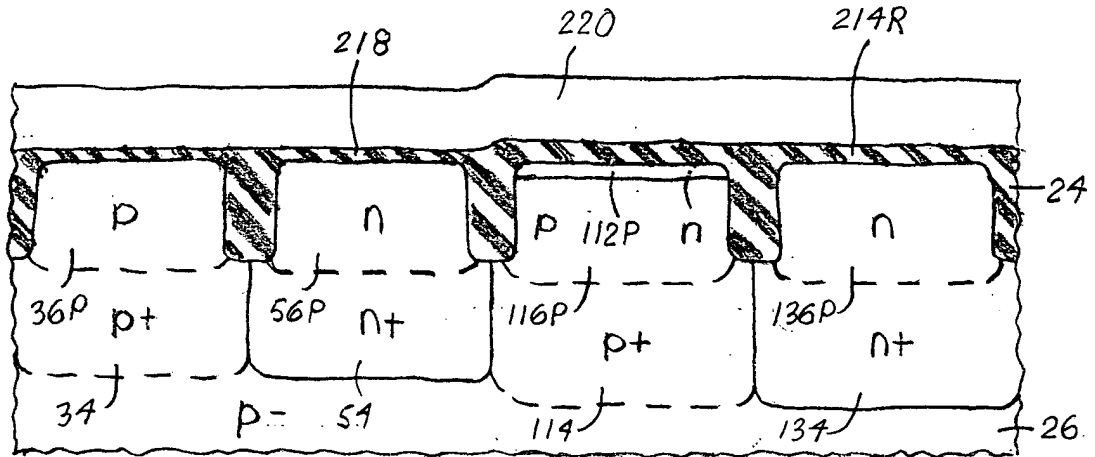


Fig. 12n

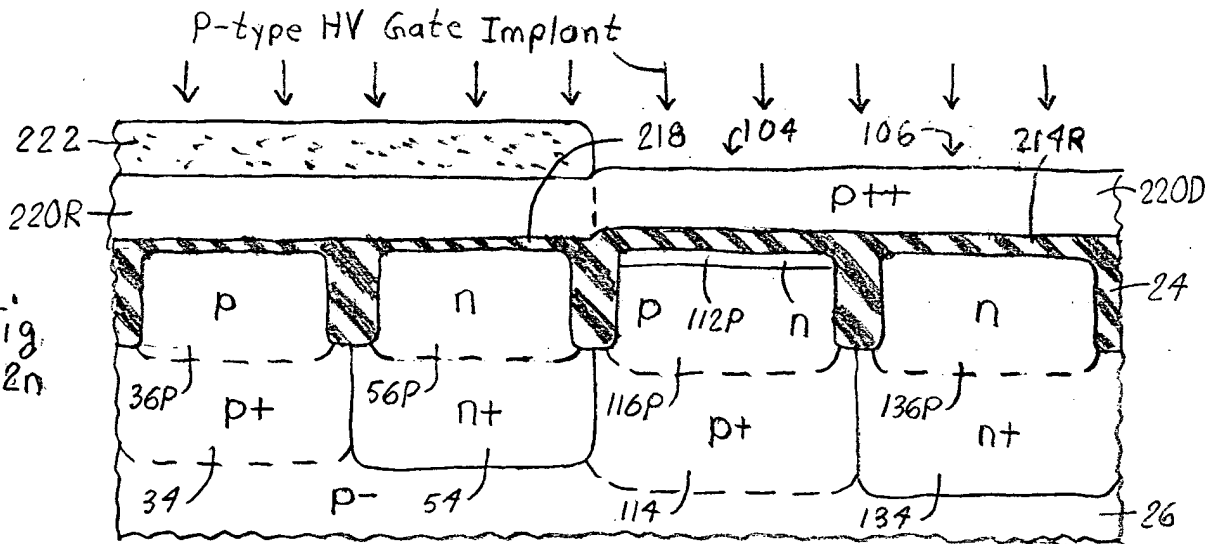
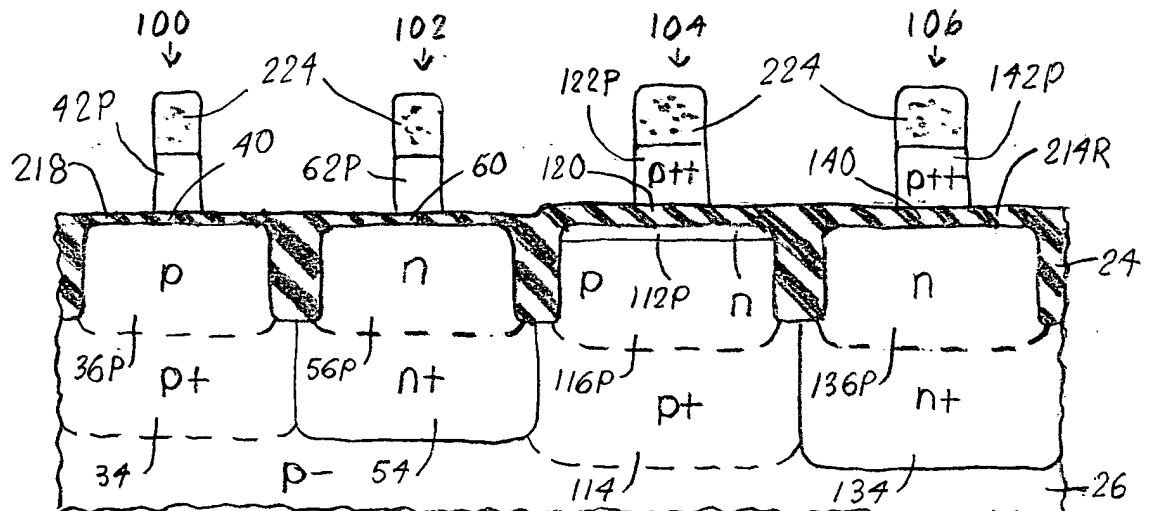


Fig. 12o



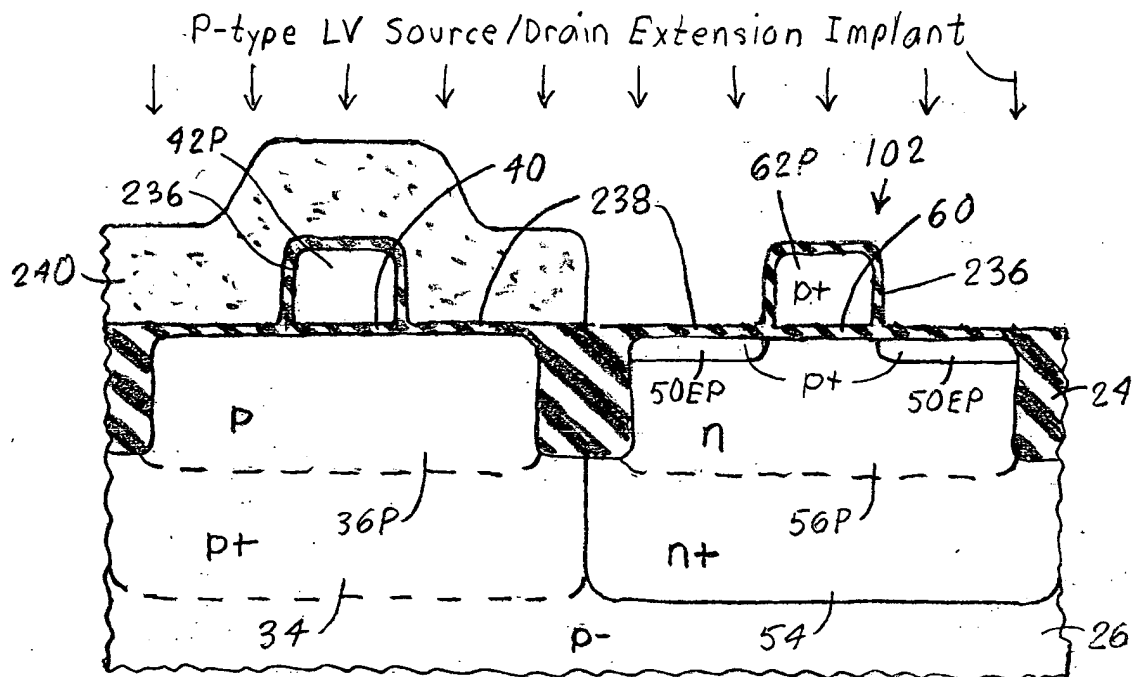


Fig. 12p.1

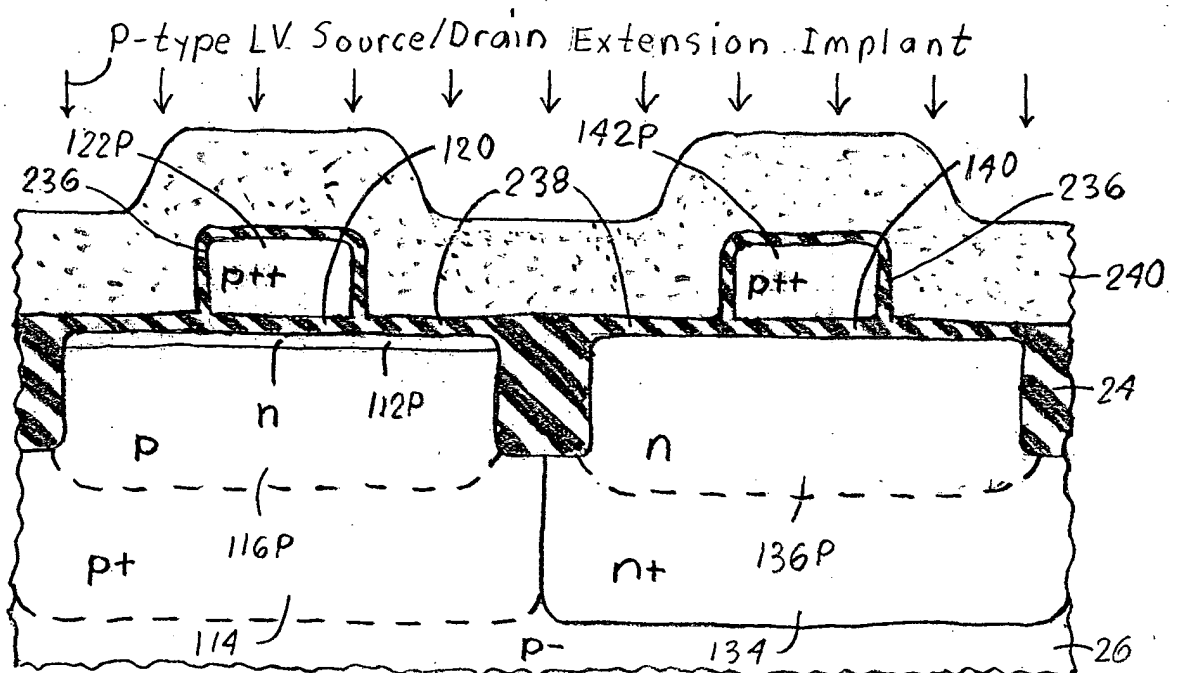


Fig. 12p.2

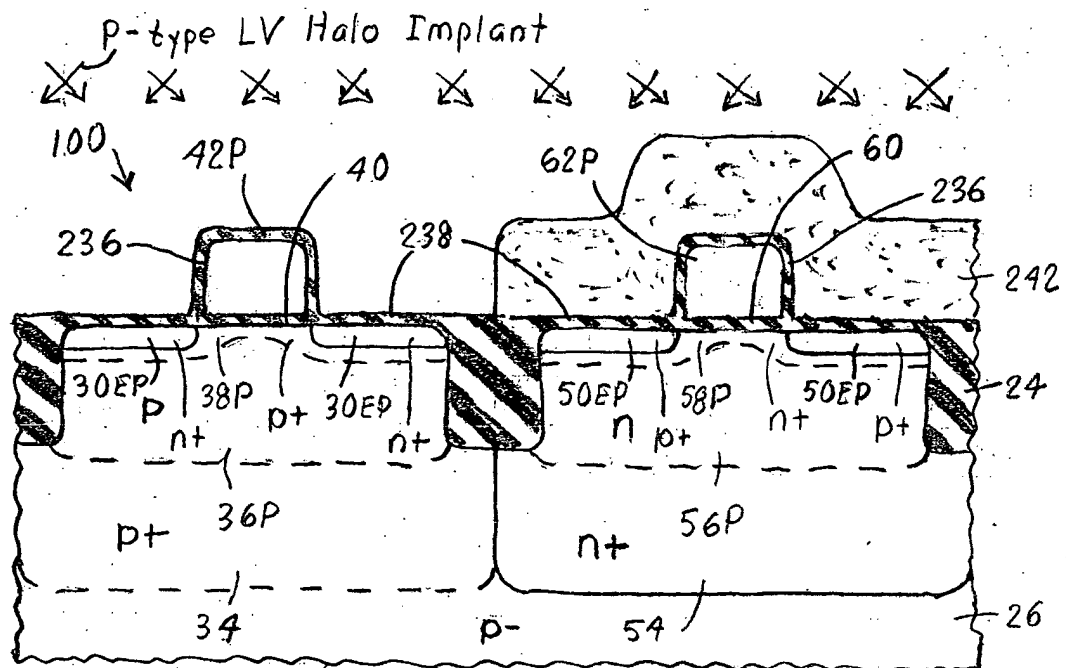
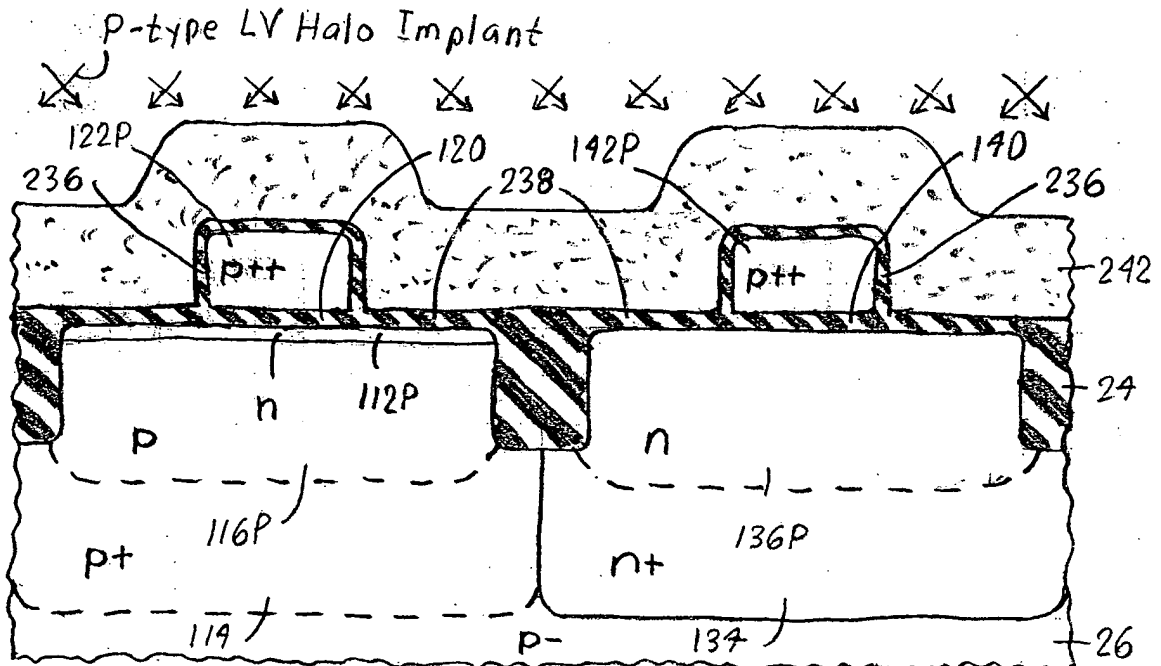


Fig. 125.1



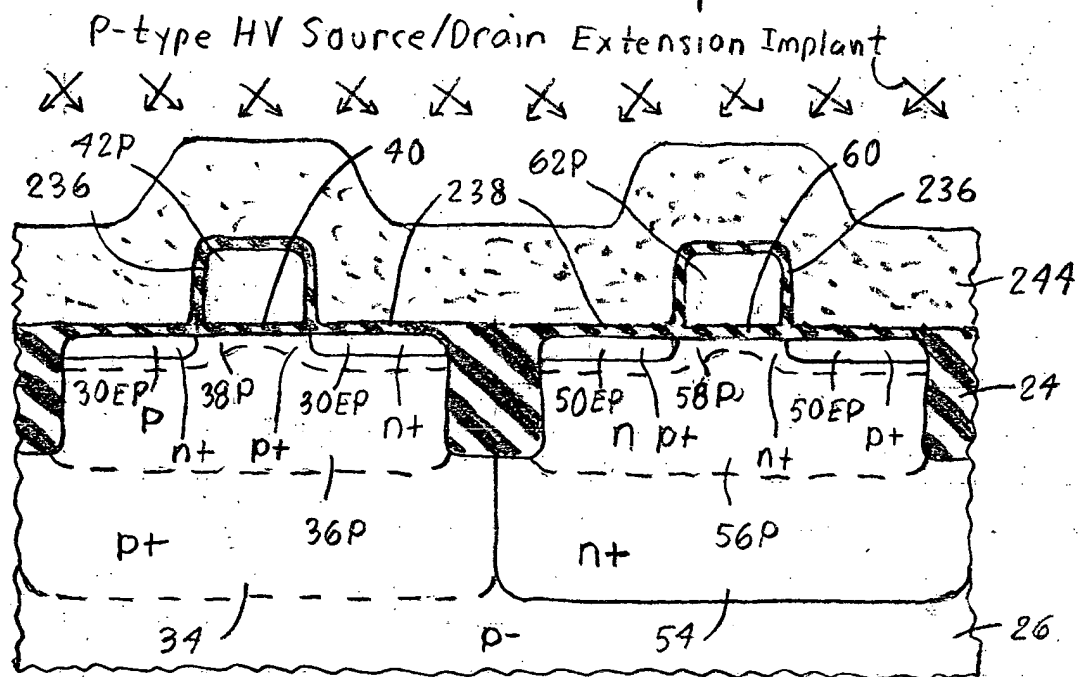


Fig. 12t.1

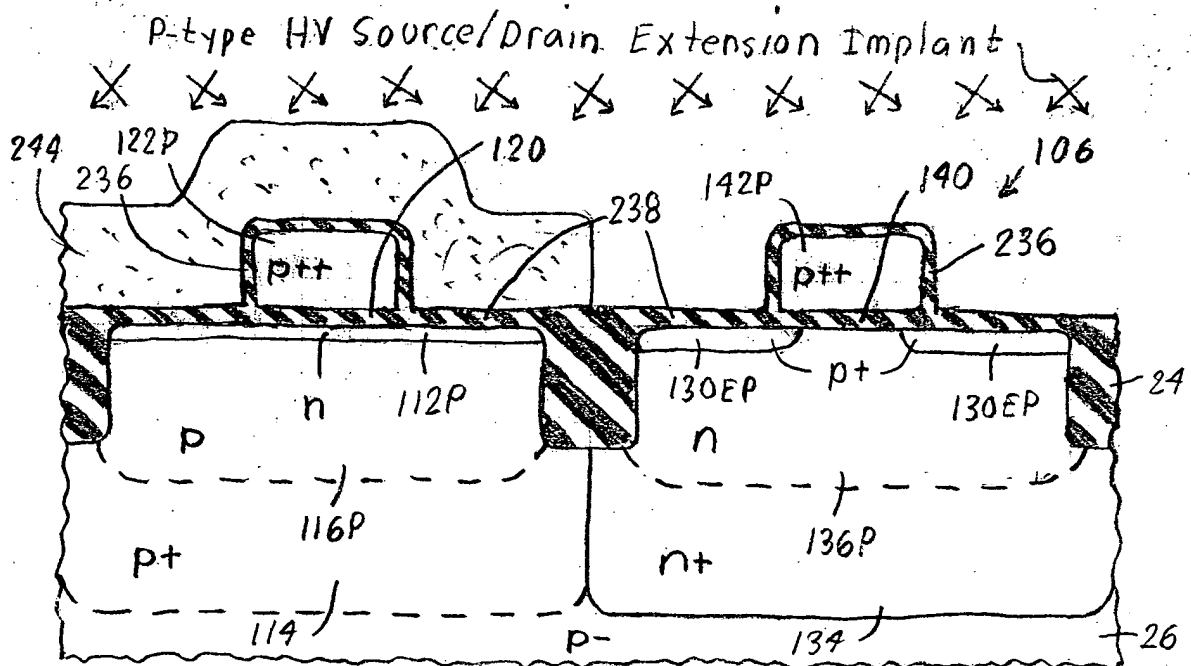


Fig. 12t.2

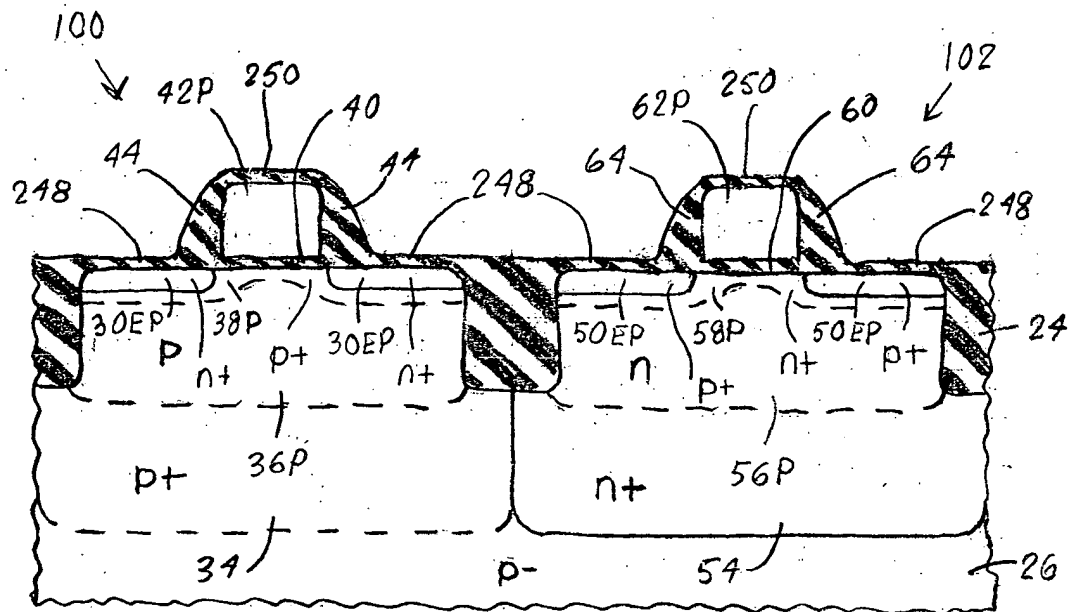


Fig. 12v.1

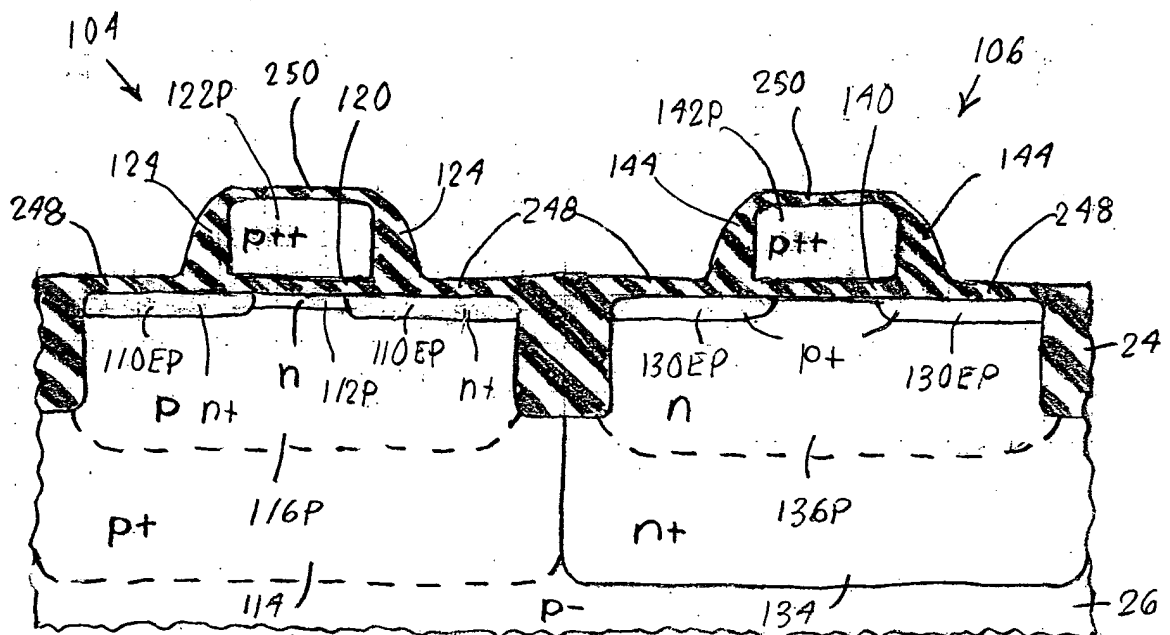
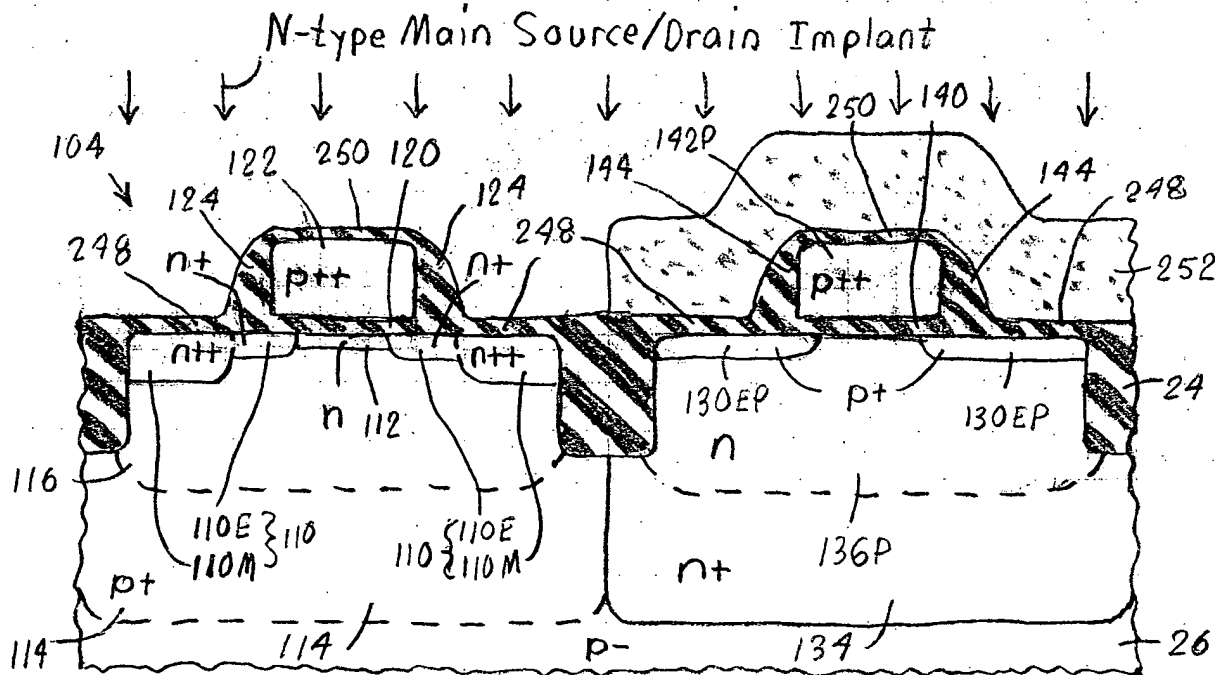
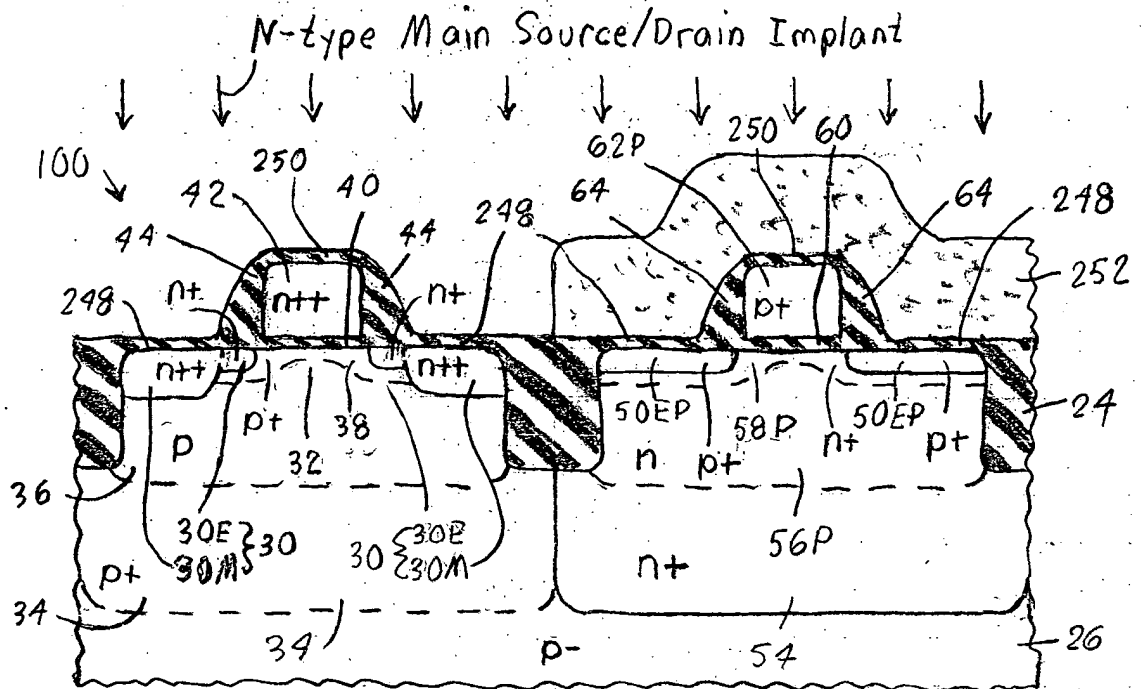


Fig. 12v.2



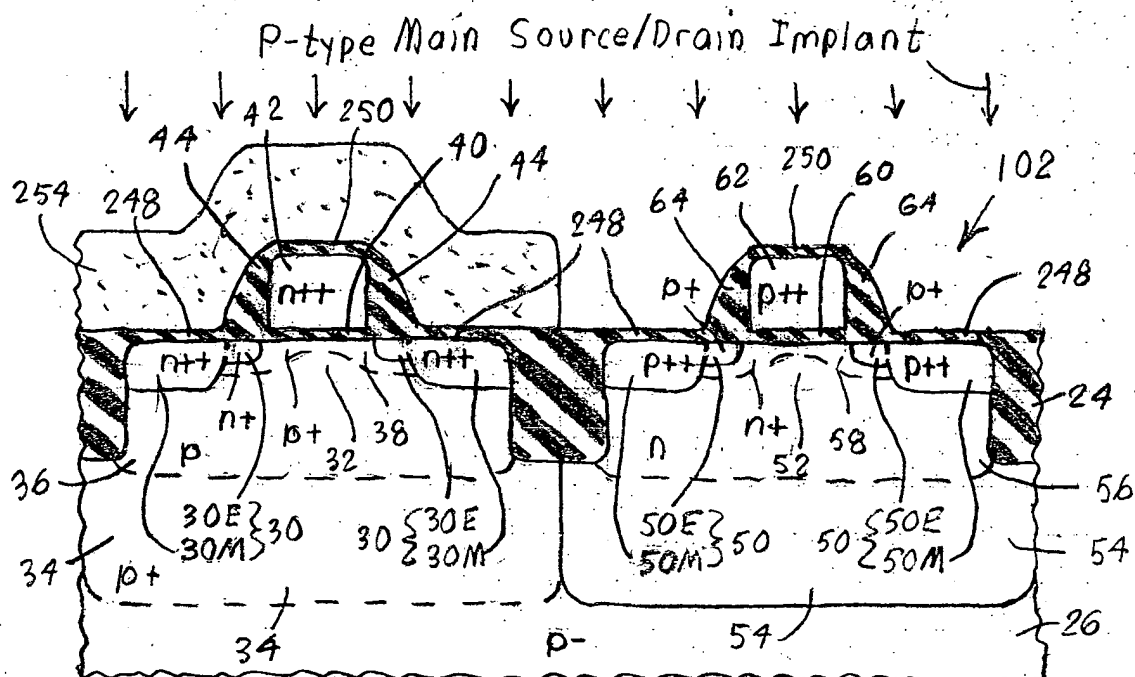


Fig. 12x.1

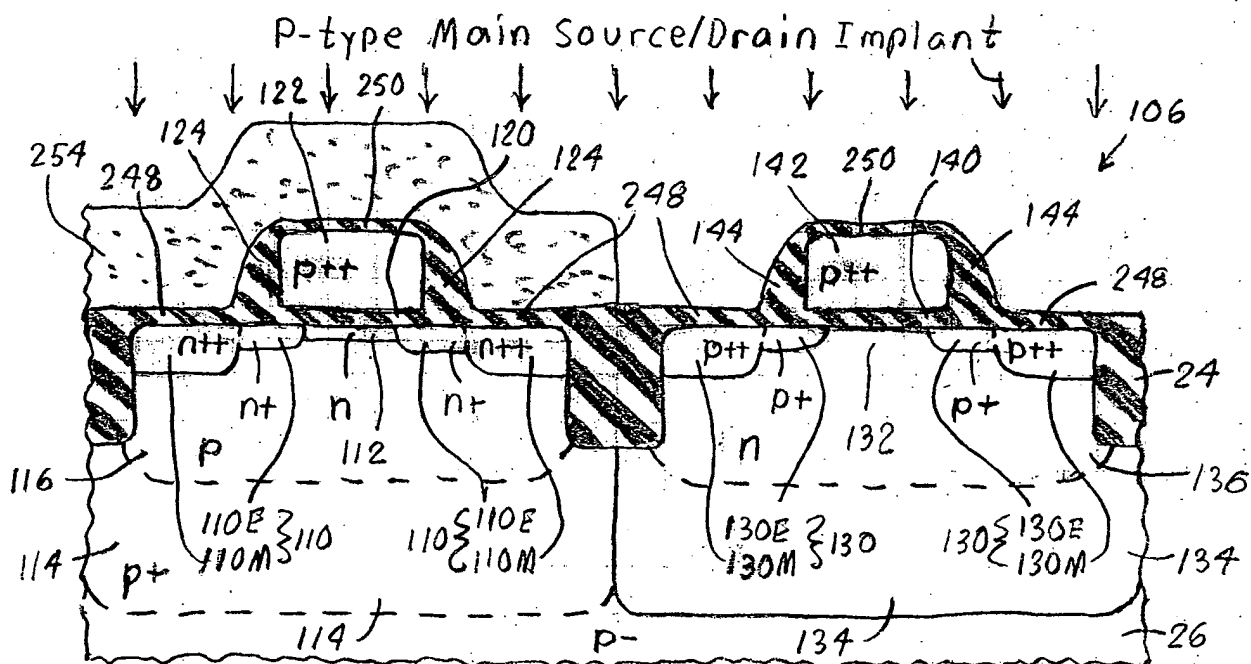


Fig. 12x.2

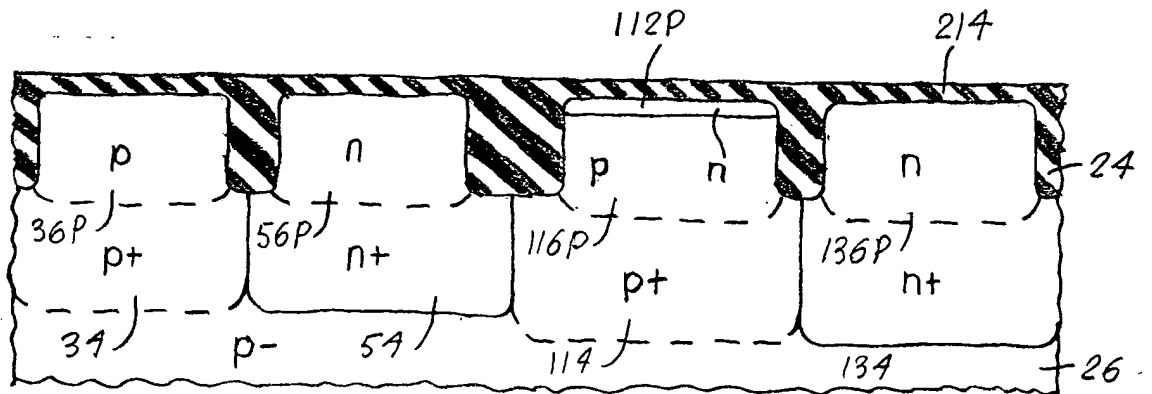
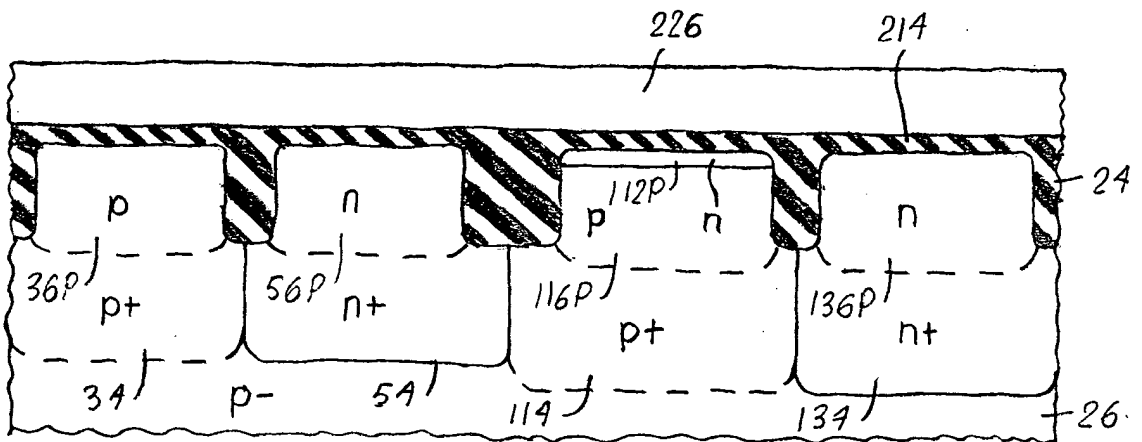
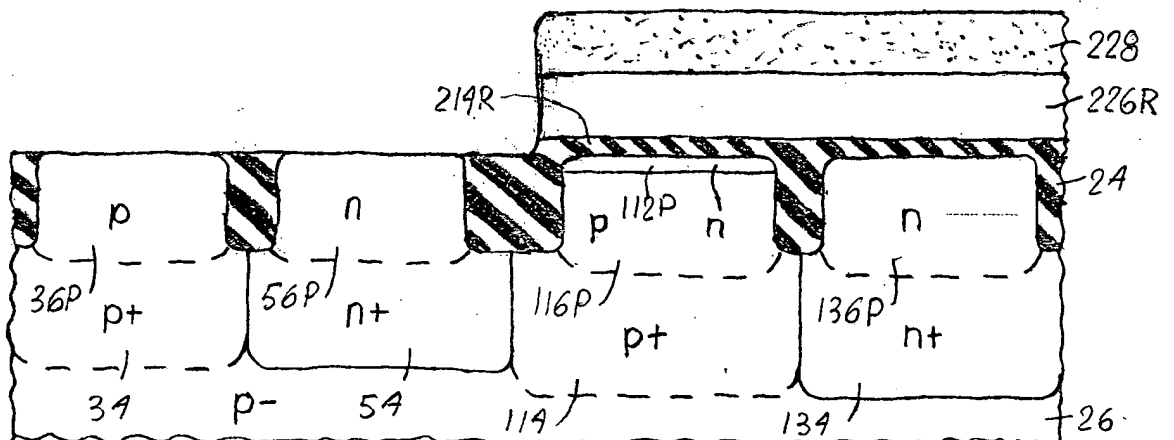
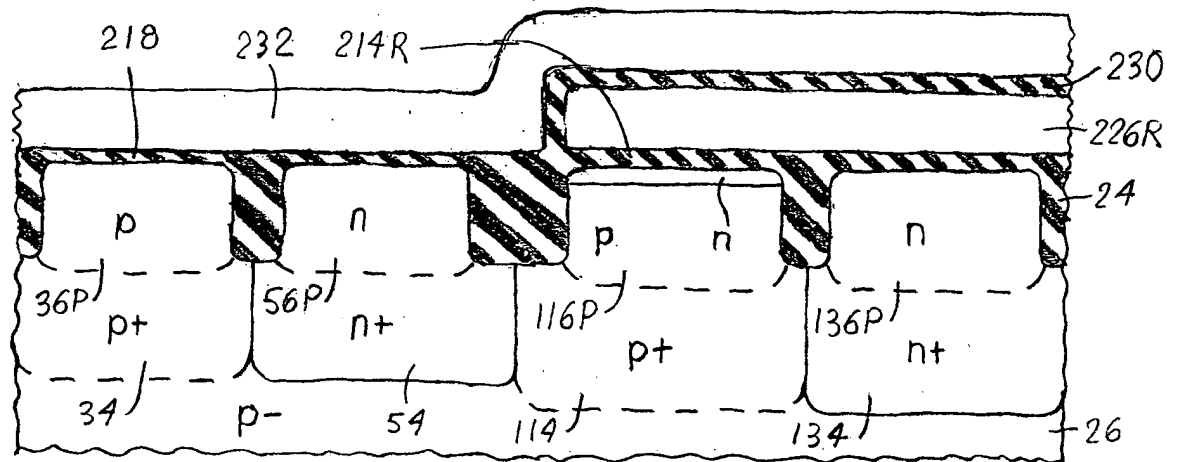
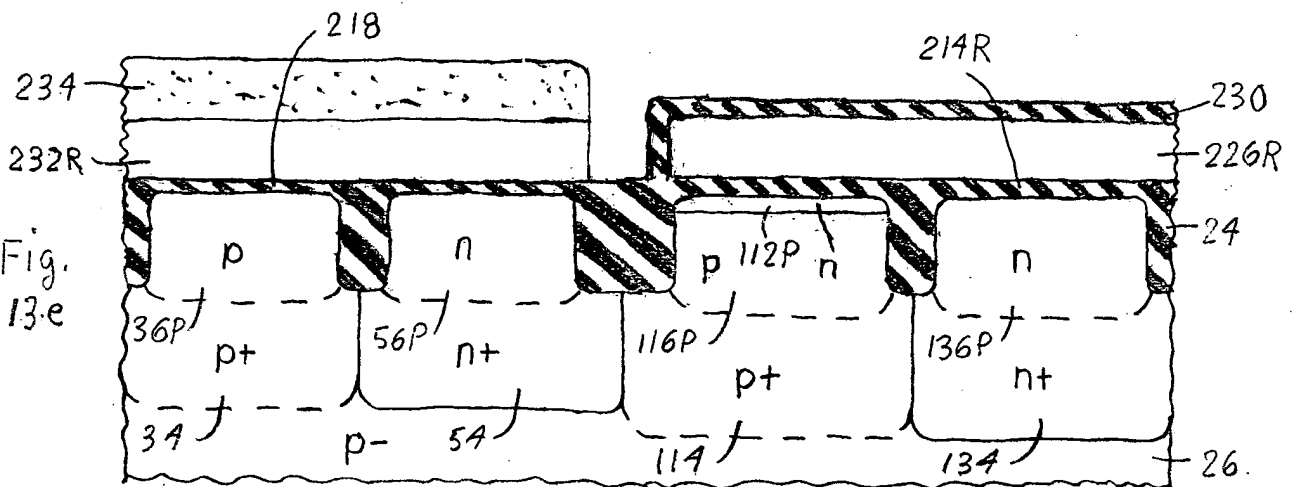
Fig.
13aFig.
13bFig.
13c

Fig.
13dFig.
13eFig.
13f